

FIG. 1

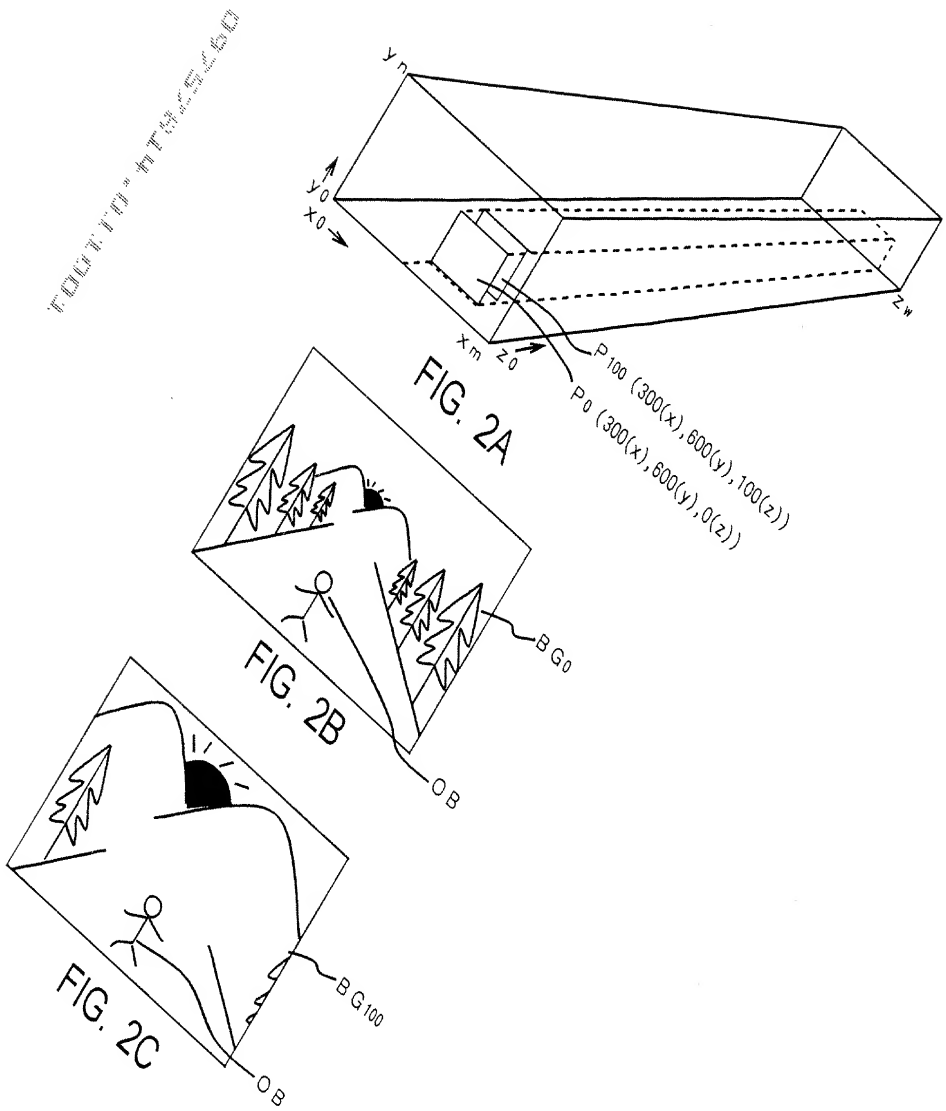


FIG. 3A

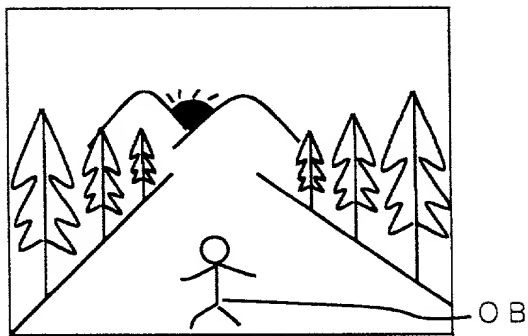


FIG. 3B

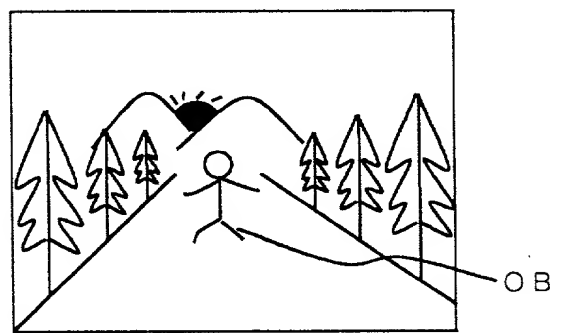


FIG. 3C

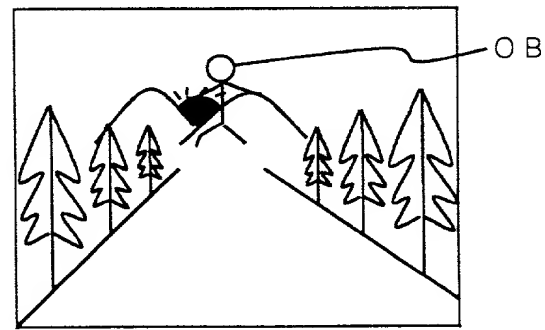
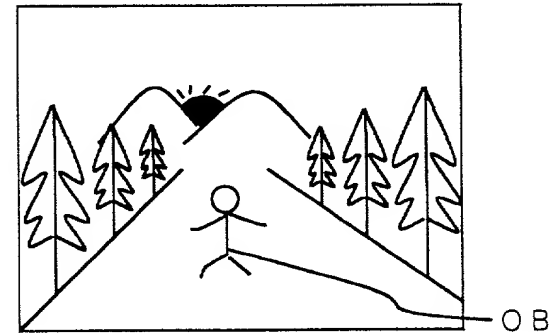


FIG. 3D



PRESSURE-SENSING VALUE	VELOCITY COEFFICIENT
0 ~ 5	1
6	E 1
7	E 2
⋮	⋮
2 5 5	E 2 5 5

FIG. 4A

PRESSURE-SENSING VALUE	VELOCITY COEFFICIENT
0 ~ 5	1
6	F 1
7	F 2
⋮	⋮
2 5 5	F 2 5 5

FIG. 4B

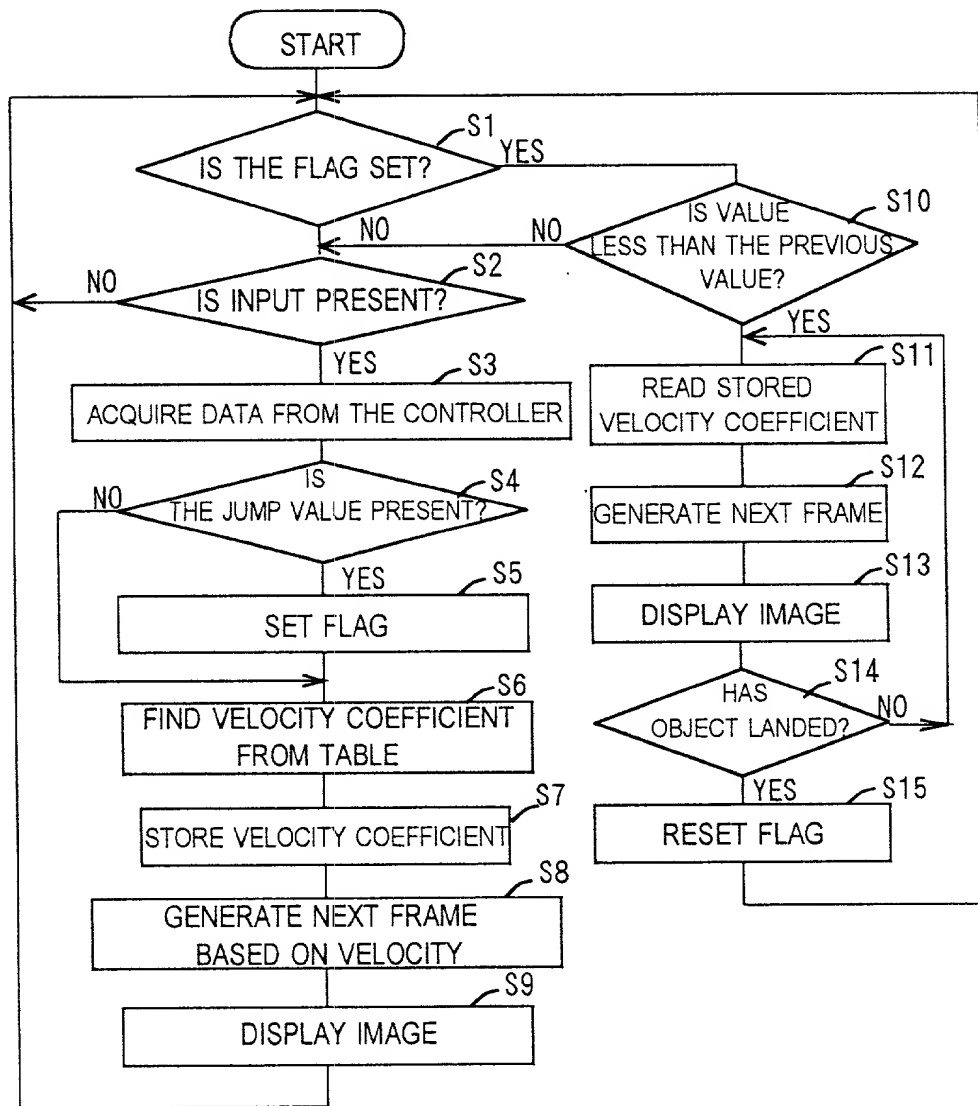


FIG. 5

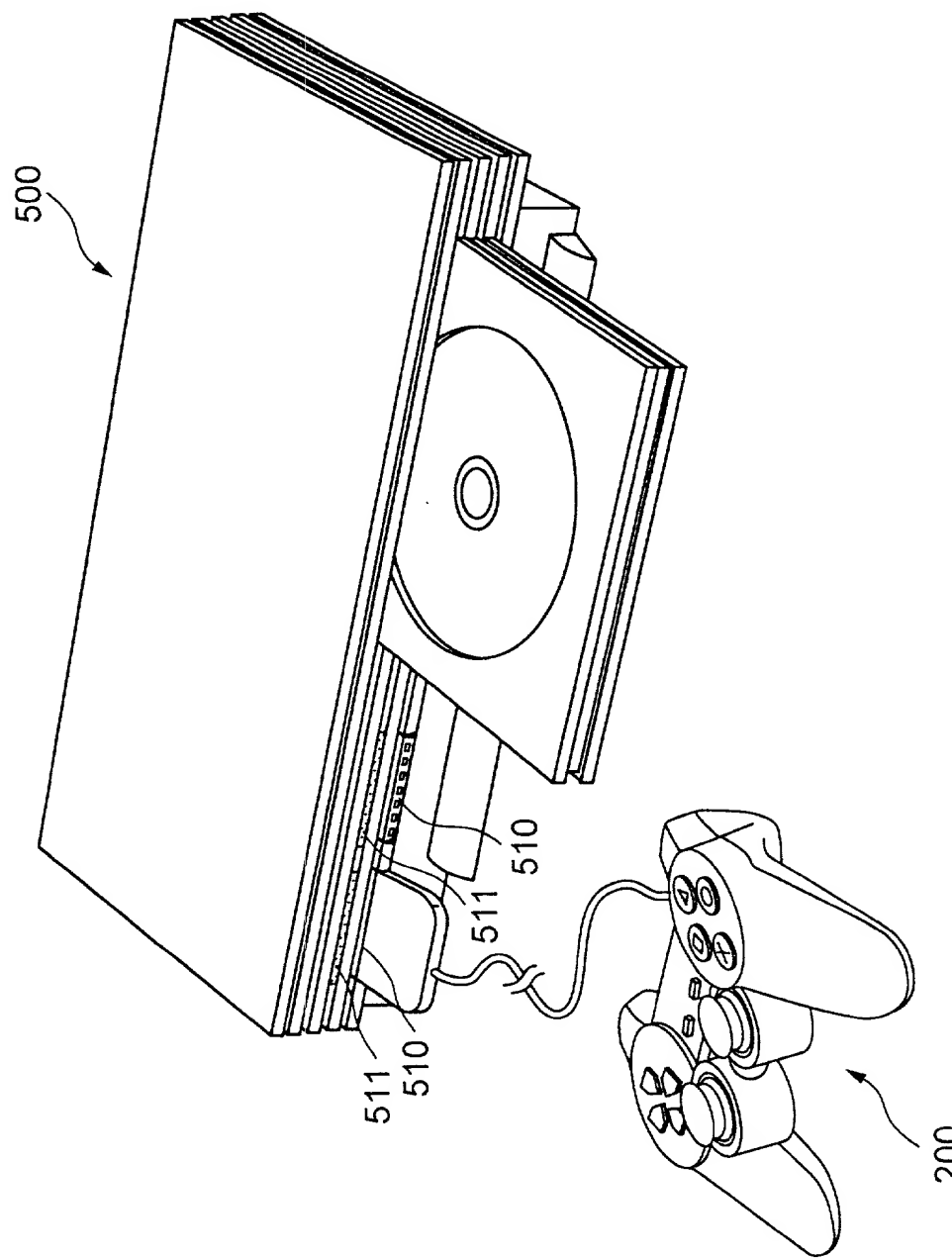


FIG. 6

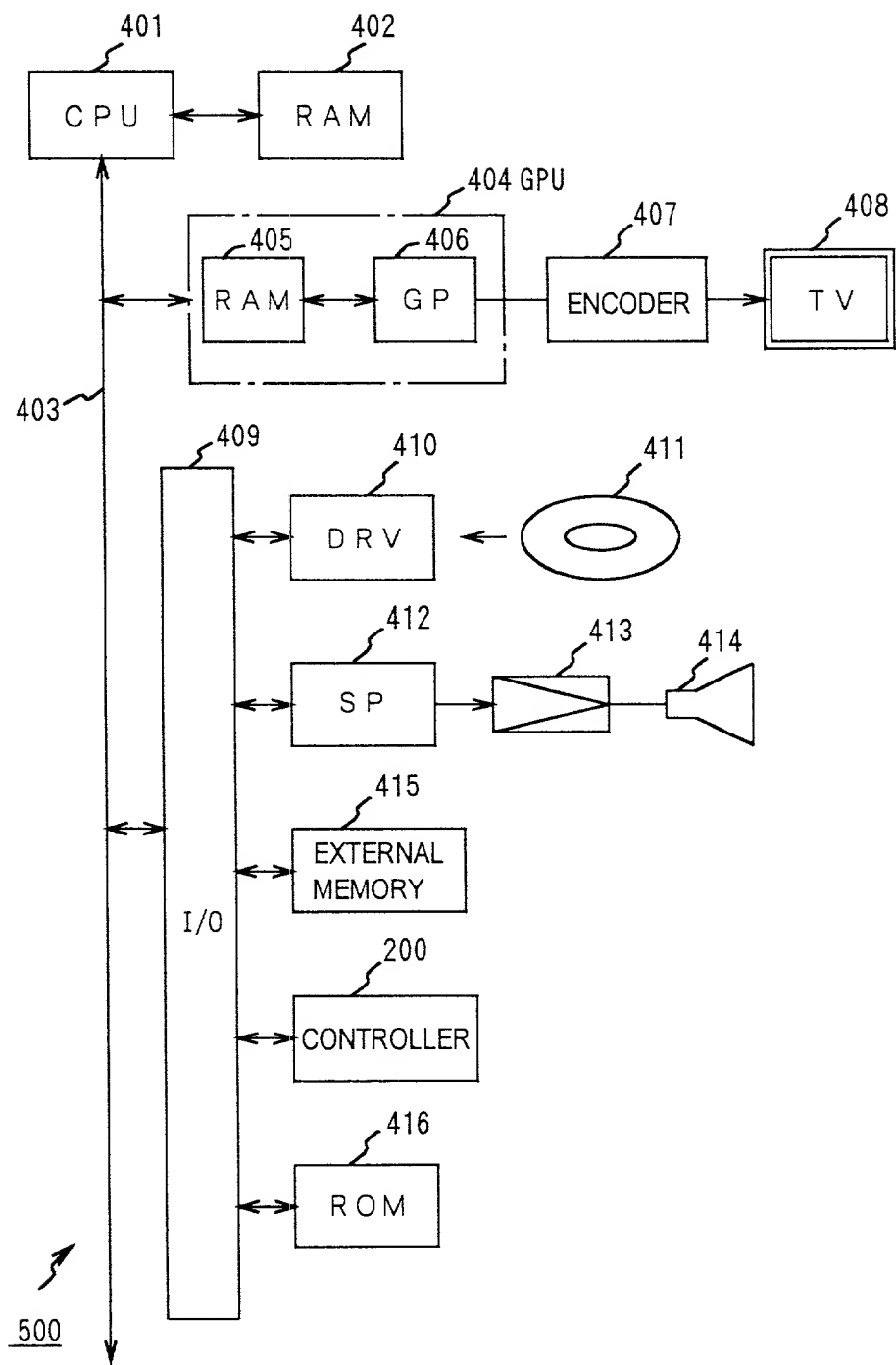
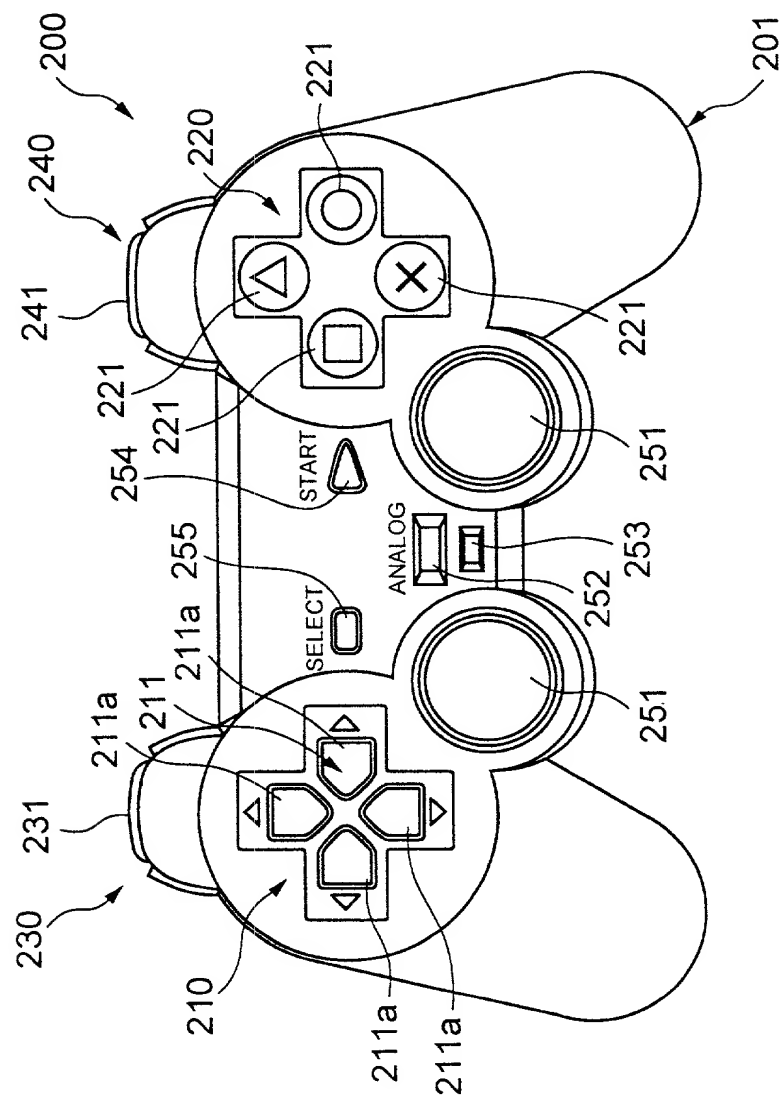


FIG. 7



8
FIG.

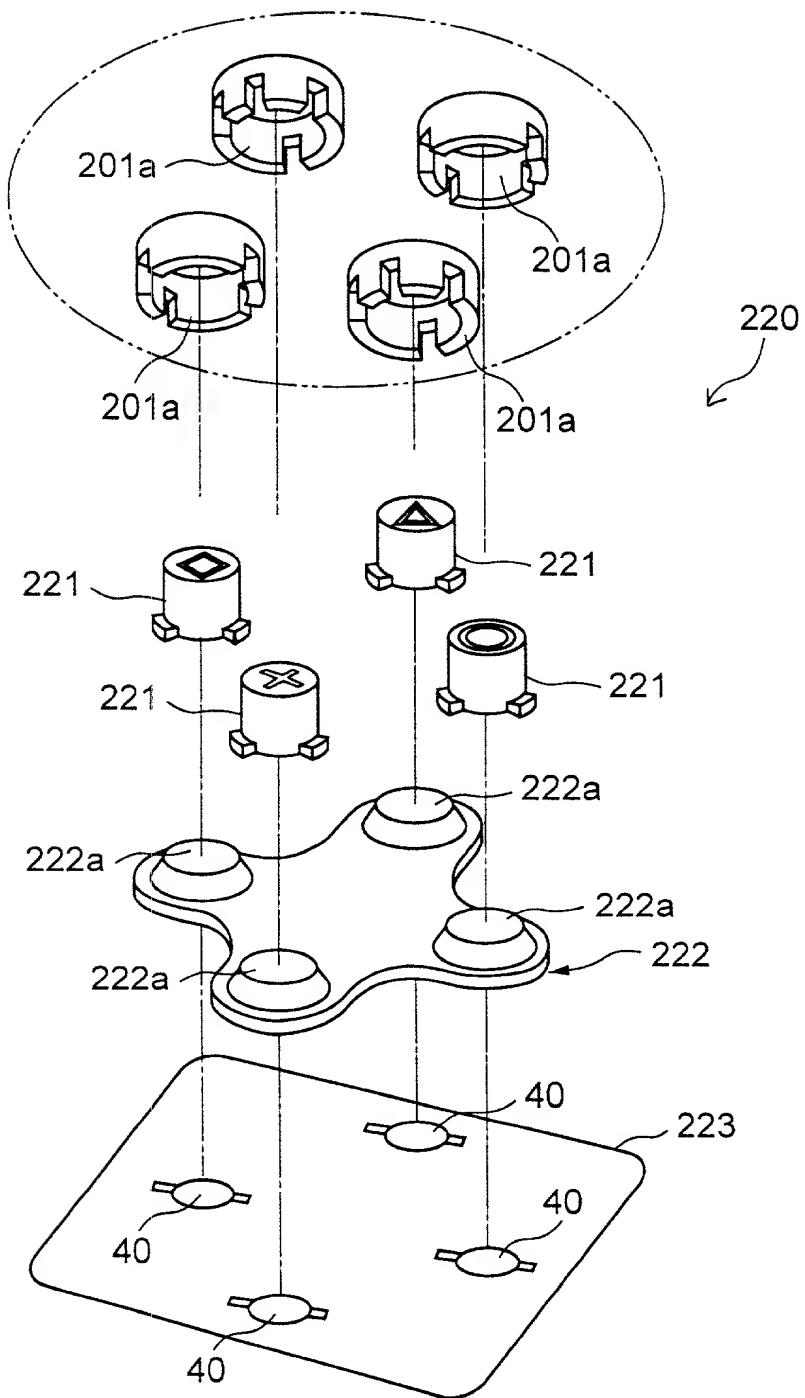


FIG. 9

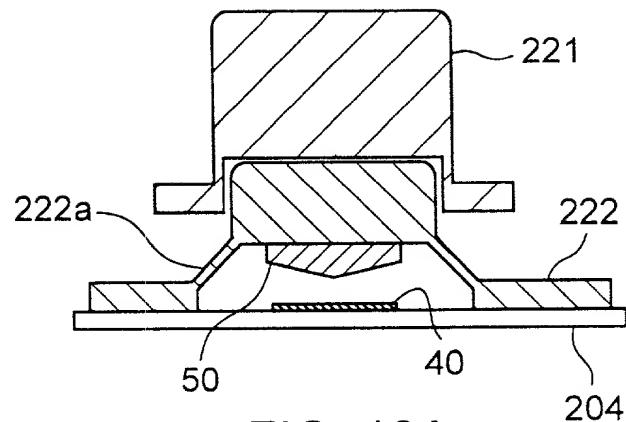


FIG. 10A

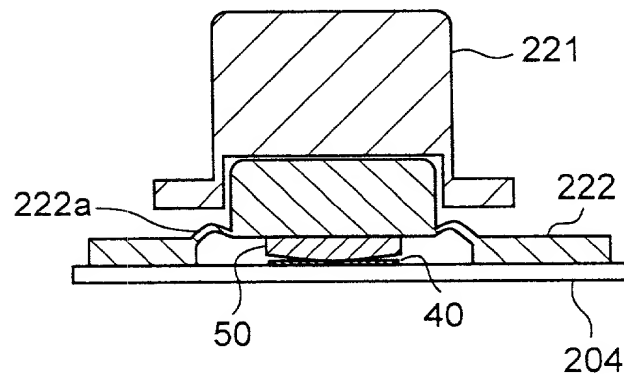


FIG. 10B

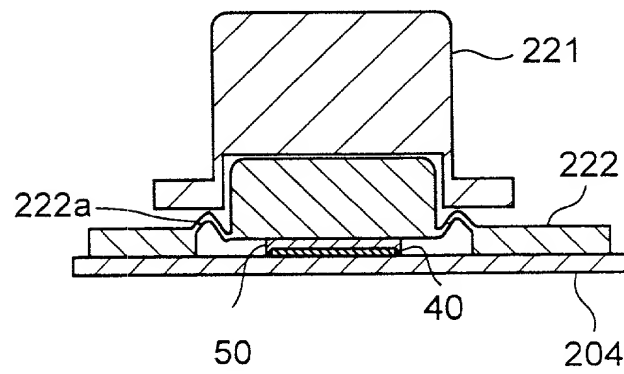


FIG. 10C

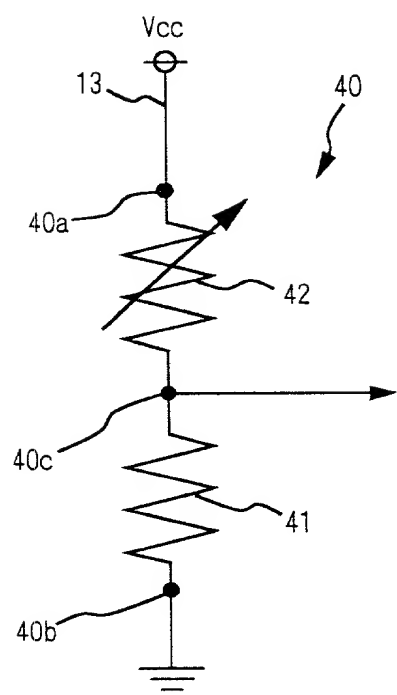


FIG. 11

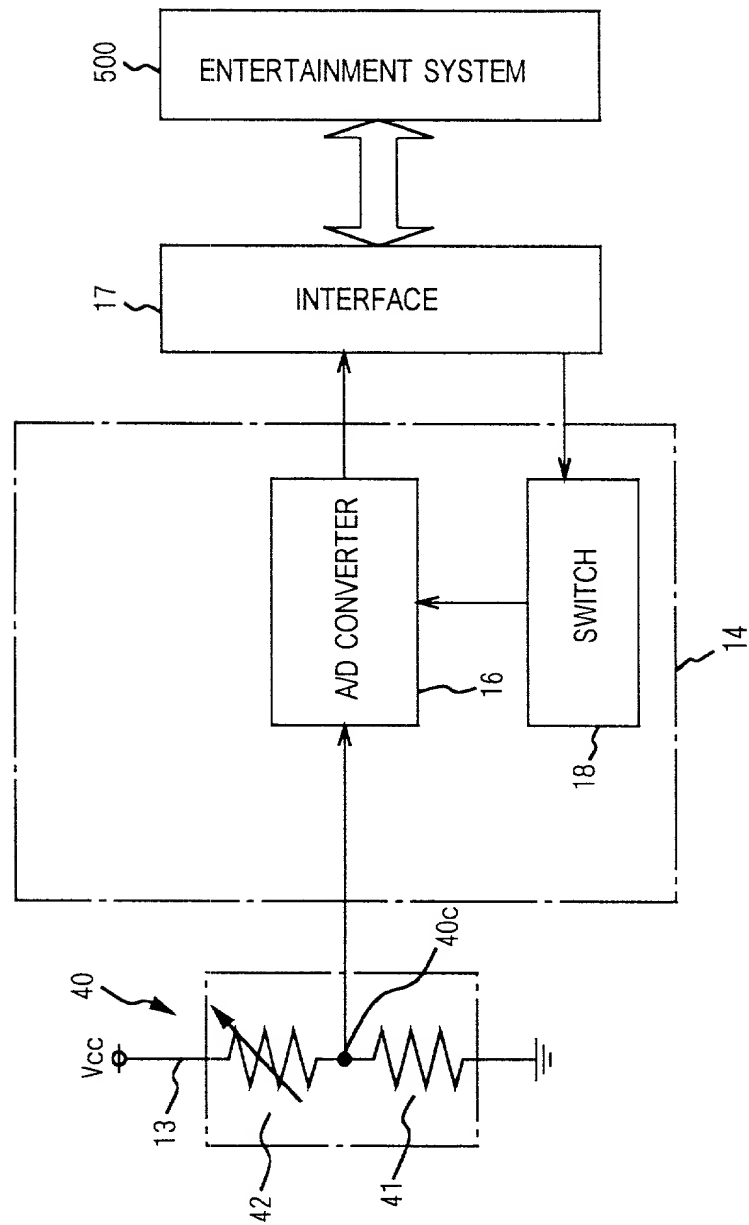


FIG. 12

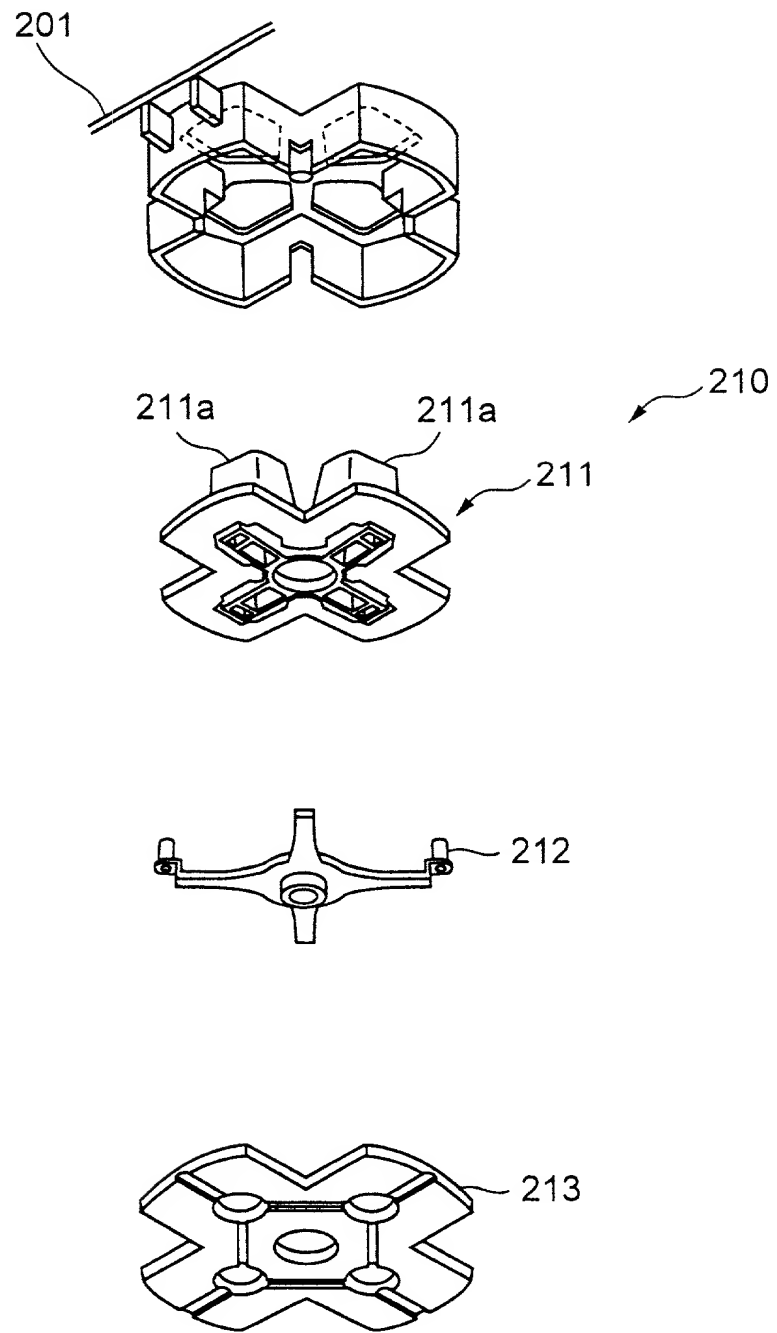


FIG. 13

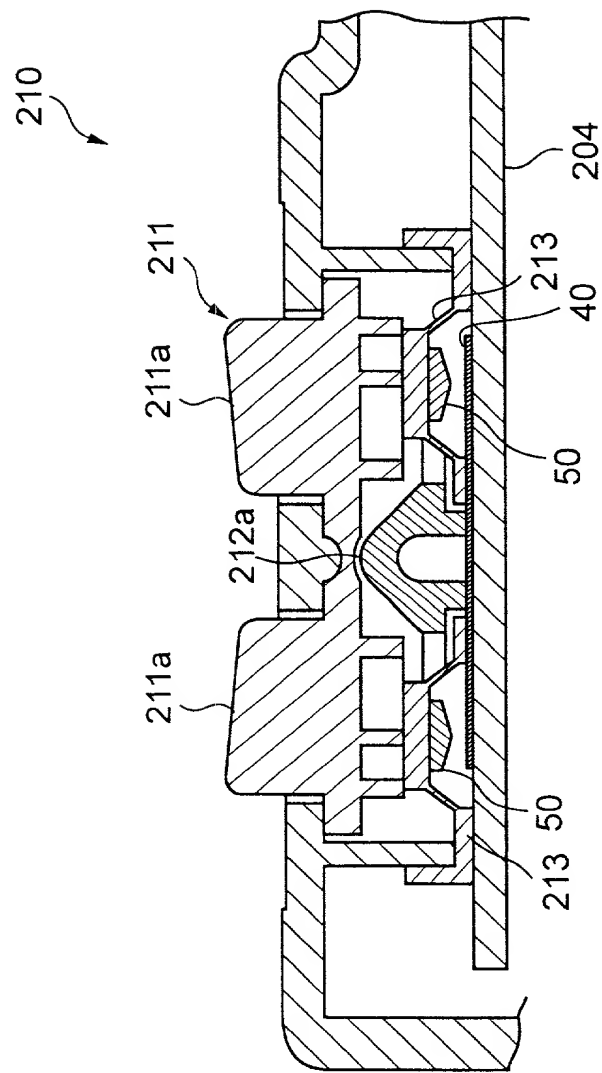


FIG. 14

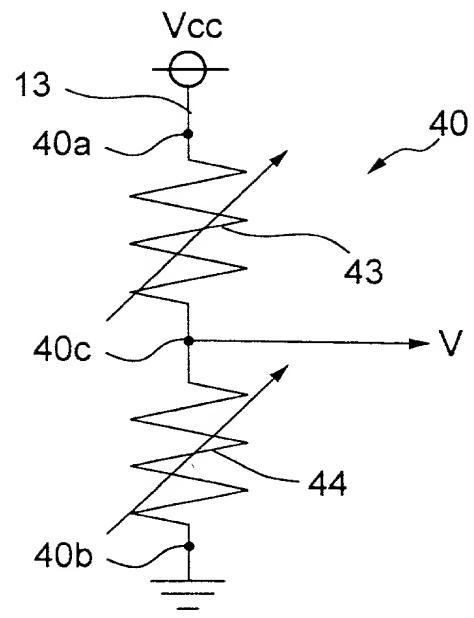


FIG. 15

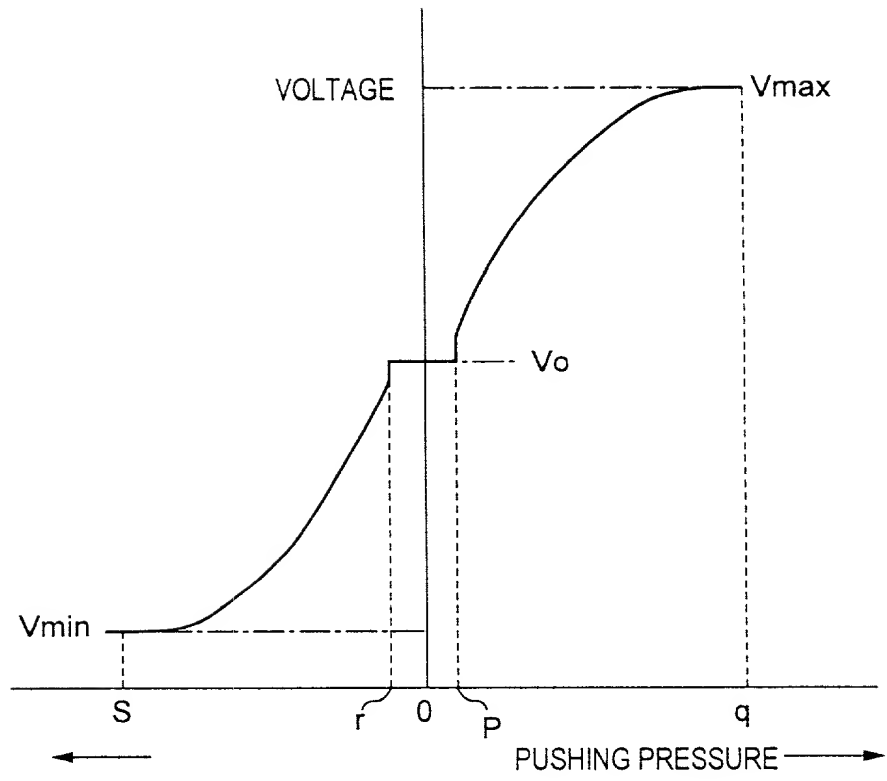


FIG. 16

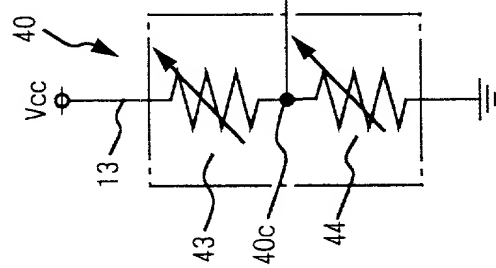
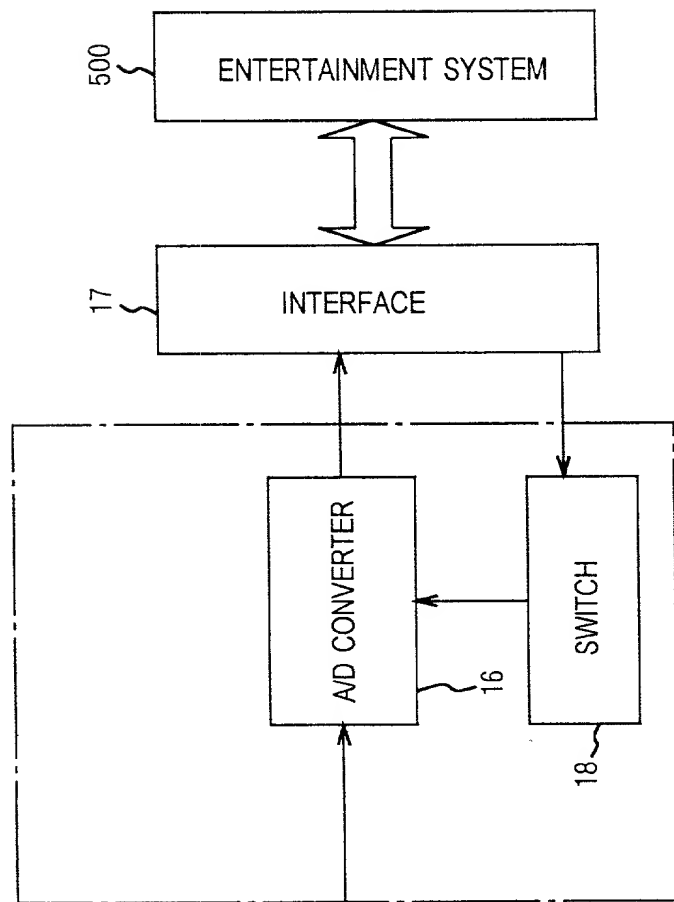


FIG. 17

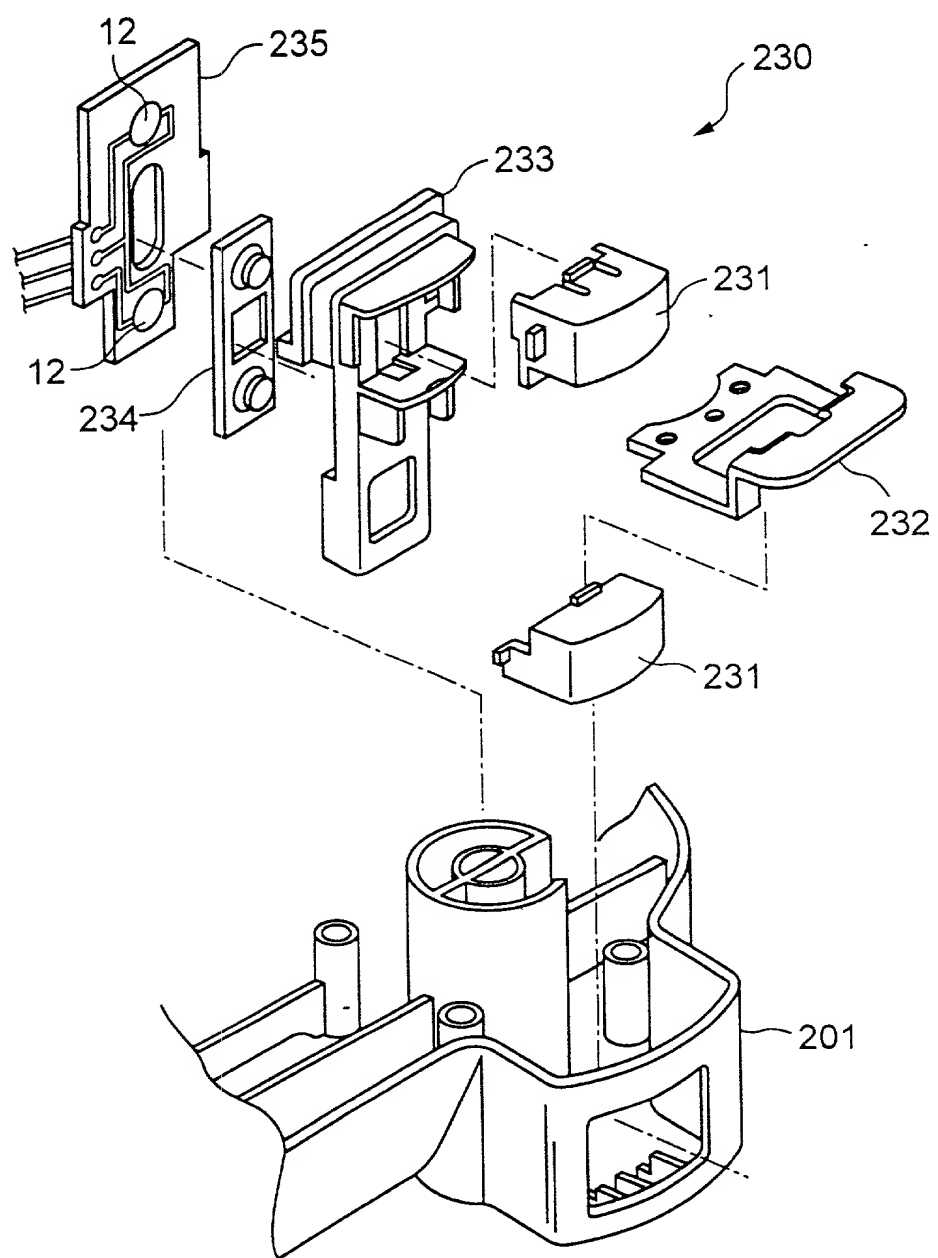


FIG. 18